



Laboratorium Badań Środowiskowych
ul. Józefa Piusa Dziekońskiego 3
00-728 Warszawa
e-mail: Laboratorium@networks.pl



AB 419

S P R A W O Z D A N I E 4840/2023/OS
Z POMIARÓW PÓL ELEKTROMAGNETYCZNYCH
WYKONANYCH DLA POTRZEB OCHRONY ŚRODOWISKA

Badany obiekt: Instalacja radiokomunikacyjna T-Mobile Polska S.A.
Numer i nazwa: 28606 (91043N!) WSK_SKIERNIEW_ZWIERZYNIECK2
Adres: SKIERNIEWICE, ZWIERZYNIECKA 2, Powiat m. Skierniewice, WOJ. ŁÓDZKIE

Data wykonania pomiarów: 2023-08-18

Sprawozdanie z badań bez pisemnej zgody laboratorium nie może być powielane inaczej niż w całości.
Wynik przedstawione w niniejszym sprawozdaniu odnoszą się wyłącznie do badanego obiektu i do warunków i konfiguracji urządzeń w dniu wykonywania pomiarów.

1. Właściciel badanego obiektu:

T-Mobile Polska S.A., ul. Marynarska 12, 02-674 Warszawa

2. Zleceniodawca:

T-Mobile Polska S.A., ul. Marynarska 12, 02-674 Warszawa

3. Przedstawiciel zleceniodawcy:

NetWorkS! Sp.z o.o.

4. Zakres zlecenia:

Wykonanie badania i opracowanie sprawozdania z pomiarów natężenia pola elektrycznego i pola magnetycznego dla instalacji radiokomunikacyjnej T-Mobile Polska S.A. zlokalizowanej w miejscowości SKIERNIEWICE, ZWIERZYNIECKA 2.

5. Cel zlecenia:

Wykonanie pomiarów pól elektromagnetycznych w otoczeniu instalacji radiokomunikacyjnej 28606 (91043N!) WSK_SKIERNIEW_ZWIERZYNIECK2 w odniesieniu do wymagań określonych w *Rozporządzeniu Ministra Klimatu z dnia 17 lutego 2020 r. w sprawie sposobów sprawdzania dotrzymania dopuszczalnych poziomów pól elektromagnetycznych w środowisku (Dz.U. 2022 poz. 2630)*.

6. Pomiary zostały wykonane przez:

Duszczyk Michał
Głowacki Konrad

7. Informacje o źródłach pól elektromagnetycznych

7.1. Sposób identyfikacji badanych źródeł pól elektromagnetycznych

Identyfikacji źródeł i parametrów technicznych dokonano na podstawie analizy dokumentacji dotyczącej zlecenia oraz obserwacji miejsca wykonywania badań.

7.2. Opis miejsca zainstalowania anten i urządzeń technicznych. Opis obiektu badań i jego otoczenia

Instalacja radiokomunikacyjna zlokalizowana jest na terenie ogrodzonym. Anteny zawieszono na kominie. Urządzenia sterujące oraz zasilające zainstalowano w szafie outdoor u podstawy komina. Wokół instalacji znajdują się tereny przemysłowe.

Instalacja radiokomunikacyjna jest obiektem bezobsługowym. Okresowe stanowiska pracy związane są z prowadzonymi w zależności od potrzeb konserwacjami, przeglądami, strojeniem i naprawami.

7.3. Parametry techniczne źródła pola elektromagnetycznego

Dane przedstawiające maksymalne parametry pracy instalacji przekazane przez zleceniodawcę:

Parametry systemu nadawczo-odbiorczego:

Charakterystyka promieniowania		kierunkowa					
Rzeczywisty czas pracy [h/dobę]		24					
Warunki pracy		znamionowe					
Rodzaj wytwarzanego pola		stacjonarne					
Lp.	Częstotliwość lub zakresy częstotliwości pracy [MHz]	Typ/producent anteny	liczba anten	Azymut [°]	kąt pochylenia* [°]	Wysokość środka elektrycznego anteny [m n.p.t.]	Równoważna moc promieniowana izotropowo (EIRP) [W]
1	800/900/1800/2100/2600	ASI4518R10v18 Huawei	1	10	2/2/2/2/2	56	27572
2	800/900/1800/2100/2600	ASI4518R10v18 Huawei	1	130	2/2/2/2/2	56	27572
3	800/900/1800/2100/2600	ASI4518R10v18 Huawei	1	250	2/2/2/2/2	56	27572

* wskazane wartości kąta pochylenia anten, zgodnie z informacją uzyskaną od zleceniodawcy, są wartościami stałymi

Parametry radiolinii:

Charakterystyka promieniowania		kierunkowa					
Rzeczywisty czas pracy [h/dobę]		24					
Warunki pracy		znamionowe					
Rodzaj wytwarzanego pola		stacjonarne					
Lp.	Linia radiowa			Antena			
	Typ/ Producent	Częstotliwość pracy [GHz]	Równoważna moc promieniowana izotropowo (EIRP) [W]	Typ/ producent	Średnica anteny [m]	Azymut [°]	Wysokość zainstalowania n.p.t [m]
1.	NP ERICSSON RAU2X 38GHZ 2x56MHz XPIC Ericsson	38	8338	ANT2_0.6 38 HP/HPX Ericsson	0.6	67	58.5
2.	RTN 380AX DC 70/80GHz 250MHz Huawei	80	1779	A80D03 Huawei	0.3	101	57.1
3.	Ericsson CN510 RAU2X Harris Stratex	32	10	ANT2_0.3 32 HP Andrew	0.3	120	54
4.	ERICSSON CN510 6363 Harris Stratex	80	13	ANT3_0.3 80 HP Andrew	0.3	157	54
5.	NEC iPasolink 100E Harris Stratex	38	15	VHLP1-38 Andrew	0.3	333	54

7.4 Inne źródła pól elektromagnetycznych

Na podstawie informacji otrzymanych od użytkownika oraz obserwacji otoczenia miejsca wykonywania pomiarów stwierdzono występowanie innych źródeł pola-EM, pracujących w systemie: telefonii komórkowej (800MHz-2600MHz), linii radiowych (5GHz – 90GHz), które istotnie wpływają na wyniki pomiarów.

8. Opis pomiarów

8.1. Metoda badań

Zgodna z rozporządzeniem Ministra Klimatu z dnia 17 lutego 2020 r. w sprawie sposobów sprawdzania dotrzymania dopuszczalnych poziomów pól elektromagnetycznych w środowisku (Dz.U. 2022 poz. 2630), określona w pkt 25 ppkt 1 załącznika do niniejszego rozporządzenia.

Sprawozdanie z badań bez pisemnej zgody laboratorium nie może być powielane inaczej niż w całości. Wynik przedstawione w niniejszym sprawozdaniu odnoszą się wyłącznie do badanego obiektu i do warunków i konfiguracji urządzeń w dniu wykonywania pomiarów.

8.2. Termin pomiarów i warunki środowiskowe

Podczas wykonywania pomiarów pól elektromagnetycznych nie występowały opady atmosferyczne. Wyniki pomiaru parametrów pogodowych przedstawia poniższa tabela:

Data [rrrr-mm-dd]	Godzina [hh:mm-hh:mm]	Warunki środowiskowe			
		Temperatura [°C]		Wilgotność względna [%]	
2023-08-18	12:45-13:55	Przed pomiarem	Po pomiarach	Przed pomiarem	Po pomiarach
				30.0	30.4

Przedstawione wyżej warunki środowiskowe, występujące podczas wykonywania pomiarów pól elektromagnetycznych, są zgodne ze specyfikacją techniczną użytego zestawu pomiarowego.

8.3. Warunki pracy urządzeń nadawczych

Podczas pomiarów w przypadku uzyskania wyniku pomiaru szerokopasmowego wykonanego zastosowaną metodą, dla zakresów częstotliwości od 10 MHz do 300 GHz, powiększonego o rozszerzoną niepewność pomiaru U dla współczynnika rozszerzenia $k = 2$ przekraczającego 70% najniższej dopuszczalnej wartości składowej elektrycznej lub magnetycznej pola dla objętych pomiarami zakresów częstotliwości, uwzględnia się poprawki pomiarowe przekazane przez zleceniodawcę, umożliwiające uwzględnienie maksymalnych parametrów pracy instalacji zgodnie z pkt 7 załącznika do Rozporządzeniem Ministra Klimatu z dnia 17 lutego 2020 r. w sprawie sposobów sprawdzania dotrzymania dopuszczalnych poziomów pól elektromagnetycznych w środowisku (Dz. U. 2022, poz. 2630) zaznaczając, że wymagane jest wykonanie pomiaru z wykorzystaniem miernika selektywnego. W przypadku uzyskania wyniku pomiaru szerokopasmowego wykonanego zastosowaną metodą, dla zakresów częstotliwości od 10 MHz do 300 GHz, powiększonego o rozszerzoną niepewność pomiaru U dla współczynnika rozszerzenia $k = 2$ nieprzekraczającego 70% najniższej dopuszczalnej wartości składowej elektrycznej lub magnetycznej pola dla objętych pomiarami zakresów częstotliwości, nie uwzględnia się poprawek pomiarowych.

8.4. Wyposażenie pomiarowe

Zestaw pomiarowy służący do pomiaru natężenia składowej elektrycznej pola elektromagnetycznego złożony z szerokopasmowego miernika i sondy pomiarowej:

Oznaczenie miernika	Producent	Model	Numer fabryczny	Oznaczenie sondy	Producent	Model	Numer fabryczny
M-19	Narda Safety Test Solution	Miernik pól elektromagnetycznych NBM-550	H-0129	S-19	Narda Safety Test Solution	Sonda EF909 1	A-0057

Mierniki natężenia pola elektromagnetycznego podlegają okresowemu sprawdzeniu zgodnie z procedurą wewnętrzną P-03 i PB-01. Świadectwo wzorcowania zestawu pomiarowego z dnia 22 maja 2023 o numerze LWiMP/W/175/23 wydane przez Politechnika Wrocławską.
Data ważności świadectwa wzorcowania: 22 maja 2025 (zgodnie z procedurą wewnętrzną P-03).

Oznaczenie miernika	Producent	Model	Numer fabryczny	Oznaczenie sondy	Producent	Model	Numer fabryczny
M-19	Narda Safety Test Solution	Miernik pól elektromagnetycznych NBM-550	H-0129	S-20	Narda Safety Test Solution	Sonda EF039 1	D-1438

Mierniki natężenia pola elektromagnetycznego podlegają okresowemu sprawdzeniu zgodnie z procedurą wewnętrzną P-03 i PB-01. Świadectwo wzorcowania zestawu pomiarowego z dnia 22 maja 2023 o numerze LWiMP/W/176/23 wydane przez Politechnika Wrocławską.
Data ważności świadectwa wzorcowania: 22 maja 2025 (zgodnie z procedurą wewnętrzną P-03).

Termohigrometr:

Oznaczenie:	TH-22	Producent:	AZ INSTRUMENT CORP	Model:	Termohigrometr AZ8706
-------------	-------	------------	--------------------	--------	-----------------------

Data ważności świadectwa wzorcowania: 17 grudnia 2023 (zgodnie z procedurą wewnętrzną P-03).

Sprawozdanie z badań bez pisemnej zgody laboratorium nie może być powielane inaczej niż w całości.
Wynik przedstawione w niniejszym sprawozdaniu odnoszą się wyłącznie do badanego obiektu i do warunków i konfiguracji urządzeń w dniu wykonywania pomiarów.

Dalmierz:

Oznaczenie	Producent	Typ	Numer seryjny	Nr świadectwa wzorcowania	Data świadectwa wzorcowania
D-11	Leica	Dalmierz Leica Disto D510	1042957453	4609.22-M11-4180-1748/14	9 stycznia 2015

Data ważności świadectwa wzorcowania: 9 stycznia 2025 (zgodnie z procedurą wewnętrzną P-03).

Odbiornik GNSS:

Oznaczenie	Producent	Model	Numer fabryczny
G-01	Stonex	S7-G GIS	S7G4083040009

Odbiorniki podlegają okresowemu sprawdzeniu zgodnie z procedurą wewnętrzną P-03.

9. Wyniki pomiarów

Pole elektryczne

Nr pionu	Opis umiejscowienia pionu (punktu pomiarowego)	Wysokość pomiaru [m]	Zmierzona wartość natężenia pola elektrycznego E [V/m] ^{1,5}			Wartość natężenia pola elektrycznego powiększona o niepewność pomiaru ⁴ E [V/m]	Wskaźnikowa wartość poziomu emisji pól elektromagnetycznych WM _E ³	Współrzędne geograficzne pionu (punktu pomiarowego) ²
			Sonda S-19	Sonda S-20	SUMA			
1	PKP w oknie parterowym hali produkcyjnej	0.3-2.0	<1.0*	<1.0*	<1.0*	1.3	0.05	51°57'31.7" 20°7'50.2"
2	PKP w oknie parterowym hali produkcyjnej	0.3-2.0	<1.0*	<1.0*	<1.0*	1.3	0.05	51°57'30.6" 20°7'48.7"
3	PKP w oknie parterowym hali produkcyjnej	0.3-2.0	<1.0*	<1.0*	<1.0*	1.3	0.05	51°57'32.4" 20°7'48.7"
4	PKP w oknie parterowym hali produkcyjnej	0.3-2.0	<1.0*	<1.0*	<1.0*	1.3	0.05	51°57'31.3" 20°7'46.9"
5	PKP w bramie hali produkcyjnej	0.3-2.0	<1.0*	<1.0*	<1.0*	1.3	0.05	51°57'33.5" 20°7'48.7"
6	GKP w odległości 30m od anteny sektorowej az. 10°	0.3-2.0	<1.0*	<1.0*	<1.0*	1.3	0.05	51°57'33.5" 20°7'48.4"
7	GKP w odległości 59m od anteny sektorowej az. 10°	0.3-2.0	<1.0*	<1.0*	<1.0*	1.3	0.05	51°57'34.2" 20°7'48.7"
8	GKP w odległości 80m od anteny sektorowej az. 10°	0.3-2.0	<1.0*	<1.0*	<1.0*	1.3	0.05	51°57'34.9" 20°7'48.7"
9	GKP w odległości 105m od anteny sektorowej az. 10°	0.3-2.0	<1.0*	<1.0*	<1.0*	1.3	0.05	51°57'35.6" 20°7'49.1"
10	GKP w odległości 5m od anteny radioliniowej az. 67°	0.3-2.0	<1.0*	<1.0*	<1.0*	1.3	0.05	51°57'32.4" 20°7'48.4"
11	GKP w odległości 40m od anteny radioliniowej az. 67°	0.3-2.0	<1.0*	<1.0*	<1.0*	1.3	0.05	51°57'32.8" 20°7'49.8"
12	GKP w odległości 61m	0.3-2.0	<1.0*	<1.0*	<1.0*	1.3	0.05	51°57'33.1" 20°7'50.9"

Sprawozdanie z badań bez pisemnej zgody laboratorium nie może być powielane inaczej niż w całości.
Wynik przedstawione w niniejszym sprawozdaniu odnoszą się wyłącznie do badanego obiektu i do warunków i konfiguracji urządzeń w dniu wykonywania pomiarów.

	od anteny radioliniowej az. 67°							
13	GKP w odległości 4m od anteny radioliniowej az. 101°	0.3-2.0	<1.0*	<1.0*	<1.0*	1.3	0.05	51°57'32.0" 20°7'48.0"
14	GKP w odległości 25m od anteny radioliniowej az. 101°	0.3-2.0	<1.0*	<1.0*	<1.0*	1.3	0.05	51°57'32.0" 20°7'49.1"
15	GKP w odległości 19m od anteny radioliniowej az. 120°	0.3-2.0	<1.0*	<1.0*	<1.0*	1.3	0.05	51°57'32.0" 20°7'48.7"
16	GKP w odległości 35m od anteny radioliniowej az. 120°	0.3-2.0	<1.0*	<1.0*	<1.0*	1.3	0.05	51°57'31.7" 20°7'49.4"
17	GKP w odległości 5m od anteny sektorowej az. 130°	0.3-2.0	<1.0*	<1.0*	<1.0*	1.3	0.05	51°57'32.0" 20°7'48.0"
18	GKP w odległości 30m od anteny sektorowej az. 130°	0.3-2.0	<1.0*	<1.0*	<1.0*	1.3	0.05	51°57'31.7" 20°7'49.1"
19	GKP w odległości 55m od anteny sektorowej az. 130°	0.3-2.0	<1.0*	<1.0*	<1.0*	1.3	0.05	51°57'31.0" 20°7'50.2"
20	GKP w odległości 10m od anteny radioliniowej az. 157°	0.3-2.0	<1.0*	<1.0*	<1.0*	1.3	0.05	51°57'32.0" 20°7'48.0"
21	GKP w odległości 35m od anteny radioliniowej az. 157°	0.3-2.0	<1.0*	<1.0*	<1.0*	1.3	0.05	51°57'31.3" 20°7'48.4"
22	GKP w odległości 3m od anteny sektorowej az. 250°	0.3-2.0	<1.0*	<1.0*	<1.0*	1.3	0.05	51°57'32.4" 20°7'47.6"
23	GKP w odległości 14m od anteny sektorowej az. 250°	0.3-2.0	<1.0*	<1.0*	<1.0*	1.3	0.05	51°57'32.4" 20°7'46.9"
24	GKP w odległości 99m od anteny sektorowej az. 250°	0.3-2.0	<1.0*	<1.0*	<1.0*	1.3	0.05	51°57'31.3" 20°7'42.6"
25	GKP w odległości 10m od anteny radioliniowej az. 333°	0.3-2.0	<1.0*	<1.0*	<1.0*	1.3	0.05	51°57'32.8" 20°7'47.3"
26	GKP w odległości 35m od anteny radioliniowej az. 333°	0.3-2.0	<1.0*	<1.0*	<1.0*	1.3	0.05	51°57'33.5" 20°7'46.9"
-	GKP w odległości 467m od anteny sektorowej az. 10°	0.3-2.0	<1.0*	<1.0*	<1.0*	1.3	0.05	51°57'47.2" 20°7'52.3"

Sprawozdanie z badań bez pisemnej zgody laboratorium nie może być powielane inaczej niż w całości.
Wynik przedstawione w niniejszym sprawozdaniu odnoszą się wyłącznie do badanego obiektu i do warunków i konfiguracji urządzeń w dniu wykonywania pomiarów.

-	GKP w odległości 464m od anteny sektorowej az. 130°	0.3-2.0	<1.0*	<1.0*	<1.0*	1.3	0.05	51°57'22.7" 20°8'6.4"
-	GKP w odległości 459m od anteny sektorowej az. 250°	0.3-2.0	<1.0*	<1.0*	<1.0*	1.3	0.05	51°57'27.4" 20°7'25.0"

Pole magnetyczne (wyznaczone na podstawie pomiaru wartości natężenia pola elektrycznego)

Nr pionu	Opis umiejscowienia pionu (punktu pomiarowego)	Wysokość pomiaru [m]	Wartość natężenia pola magnetycznego H [A/m] ¹			Wartość natężenia pola magnetycznego powiększona o niepewność pomiaru ⁴ H [A/m]	Wskaźnikowa wartość poziomu emisji pól elektromagnetycznych WM _H ³	Współrzędne geograficzne pionu (punktu pomiarowego) ²
			Sonda S-19	Sonda S-20	SUMA			
1	PKP w oknie parterowym hali produkcyjnej	0.3-2.0	<0.003*	<0.003*	<0.003*	0.003	0.05	51°57'31.7" 20°7'50.2"
2	PKP w oknie parterowym hali produkcyjnej	0.3-2.0	<0.003*	<0.003*	<0.003*	0.003	0.05	51°57'30.6" 20°7'48.7"
3	PKP w oknie parterowym hali produkcyjnej	0.3-2.0	<0.003*	<0.003*	<0.003*	0.003	0.05	51°57'32.4" 20°7'48.7"
4	PKP w oknie parterowym hali produkcyjnej	0.3-2.0	<0.003*	<0.003*	<0.003*	0.003	0.05	51°57'31.3" 20°7'46.9"
5	PKP w bramie hali produkcyjnej	0.3-2.0	<0.003*	<0.003*	<0.003*	0.003	0.05	51°57'33.5" 20°7'48.7"
6	GKP w odległości 30m od anteny sektorowej az. 10°	0.3-2.0	<0.003*	<0.003*	<0.003*	0.003	0.05	51°57'33.5" 20°7'48.4"
7	GKP w odległości 59m od anteny sektorowej az. 10°	0.3-2.0	<0.003*	<0.003*	<0.003*	0.003	0.05	51°57'34.2" 20°7'48.7"
8	GKP w odległości 80m od anteny sektorowej az. 10°	0.3-2.0	<0.003*	<0.003*	<0.003*	0.003	0.05	51°57'34.9" 20°7'48.7"
9	GKP w odległości 105m od anteny sektorowej az. 10°	0.3-2.0	<0.003*	<0.003*	<0.003*	0.003	0.05	51°57'35.6" 20°7'49.1"
10	GKP w odległości 5m od anteny radioliniowej az. 67°	0.3-2.0	<0.003*	<0.003*	<0.003*	0.003	0.05	51°57'32.4" 20°7'48.4"
11	GKP w odległości 40m od anteny radioliniowej az. 67°	0.3-2.0	<0.003*	<0.003*	<0.003*	0.003	0.05	51°57'32.8" 20°7'49.8"
12	GKP w odległości 61m od anteny radioliniowej az. 67°	0.3-2.0	<0.003*	<0.003*	<0.003*	0.003	0.05	51°57'33.1" 20°7'50.9"

Sprawozdanie z badań bez pisemnej zgody laboratorium nie może być powielane inaczej niż w całości.
Wynik przedstawione w niniejszym sprawozdaniu odnoszą się wyłącznie do badanego obiektu i do warunków i konfiguracji urządzeń w dniu wykonywania pomiarów.

13	GKP w odległości 4m od anteny radioliniowej az. 101°	0.3-2.0	<0.003 *	<0.003 *	<0.003 *	0.003	0.05	51°57'32.0" 20°7'48.0"
14	GKP w odległości 25m od anteny radioliniowej az. 101°	0.3-2.0	<0.003 *	<0.003 *	<0.003 *	0.003	0.05	51°57'32.0" 20°7'49.1"
15	GKP w odległości 19m od anteny radioliniowej az. 120°	0.3-2.0	<0.003 *	<0.003 *	<0.003 *	0.003	0.05	51°57'32.0" 20°7'48.7"
16	GKP w odległości 35m od anteny radioliniowej az. 120°	0.3-2.0	<0.003 *	<0.003 *	<0.003 *	0.003	0.05	51°57'31.7" 20°7'49.4"
17	GKP w odległości 5m od anteny sektorowej az. 130°	0.3-2.0	<0.003 *	<0.003 *	<0.003 *	0.003	0.05	51°57'32.0" 20°7'48.0"
18	GKP w odległości 30m od anteny sektorowej az. 130°	0.3-2.0	<0.003 *	<0.003 *	<0.003 *	0.003	0.05	51°57'31.7" 20°7'49.1"
19	GKP w odległości 55m od anteny sektorowej az. 130°	0.3-2.0	<0.003 *	<0.003 *	<0.003 *	0.003	0.05	51°57'31.0" 20°7'50.2"
20	GKP w odległości 10m od anteny radioliniowej az. 157°	0.3-2.0	<0.003 *	<0.003 *	<0.003 *	0.003	0.05	51°57'32.0" 20°7'48.0"
21	GKP w odległości 35m od anteny radioliniowej az. 157°	0.3-2.0	<0.003 *	<0.003 *	<0.003 *	0.003	0.05	51°57'31.3" 20°7'48.4"
22	GKP w odległości 3m od anteny sektorowej az. 250°	0.3-2.0	<0.003 *	<0.003 *	<0.003 *	0.003	0.05	51°57'32.4" 20°7'47.6"
23	GKP w odległości 14m od anteny sektorowej az. 250°	0.3-2.0	<0.003 *	<0.003 *	<0.003 *	0.003	0.05	51°57'32.4" 20°7'46.9"
24	GKP w odległości 99m od anteny sektorowej az. 250°	0.3-2.0	<0.003 *	<0.003 *	<0.003 *	0.003	0.05	51°57'31.3" 20°7'42.6"
25	GKP w odległości 10m od anteny radioliniowej az. 333°	0.3-2.0	<0.003 *	<0.003 *	<0.003 *	0.003	0.05	51°57'32.8" 20°7'47.3"
26	GKP w odległości 35m od anteny radioliniowej az. 333°	0.3-2.0	<0.003 *	<0.003 *	<0.003 *	0.003	0.05	51°57'33.5" 20°7'46.9"
-	GKP w odległości 467m od anteny sektorowej az. 10°	0.3-2.0	<0.003 *	<0.003 *	<0.003 *	0.003	0.05	51°57'47.2" 20°7'52.3"
-	GKP w odległości	0.3-2.0	<0.003 *	<0.003 *	<0.003 *	0.003	0.05	51°57'22.7" 20°8'6.4"

Sprawozdanie z badań bez pisemnej zgody laboratorium nie może być powielane inaczej niż w całości.
Wynik przedstawione w niniejszym sprawozdaniu odnoszą się wyłącznie do badanego obiektu i do warunków i konfiguracji urządzeń w dniu wykonywania pomiarów.

	464m od anteny sektorowej az. 130°							
-	GKP w odległości 459m od anteny sektorowej az. 250°	0.3-2.0	<0.003 *	<0.003 *	<0.003 *	0.003	0.05	51°57'27.4" 20°7'25.0"

GKP – Główny Kierunek Pomiarowy

PKP – Pomocniczy Kierunek Pomiarowy

¹ wyniki oznaczone * są wynikami poniżej czułości zestawu pomiarowego

² współrzędne geograficzne pozyskane metodą pomiaru bezpośredniego

³ do wyznaczenia wartości wskaźnikowej W_{ME} i W_{MH} przyjęto na podstawie uzgodnień z klientem oraz rozpoznania źródeł, jako wartości dopuszczalne pola elektrycznego i magnetycznego odpowiednio 28 V/m i 0,073 A/m.

⁴ do wyznaczenia niepewności dla wyników poniżej czułości zestawu pomiarowego, przyjęto niepewność dla minimalnej wartości z zakresu pomiarowego.

⁵ maksymalna wartość chwilowa

Niepewność oszacowano zgodnie z dokumentem P-03 „Procedura nadzoru nad wyposażeniem” w postaci niepewności rozszerzonej wynikającej z niepewności standardowej pomnożonej przez współczynnik rozszerzenia $k=2$.

Całkowita szacowana niepewność rozszerzona składowej E wynosi odpowiednio:

sonda S-19: 27.4% dla częstotliwości do 4 GHz, sonda S-20: 29.4% dla częstotliwości do 3 GHz

Umiejscowienie pionów (punktów) pomiarowych przedstawiono w załączniku nr 2 do niniejszego sprawozdania.

10. Omówienie wyników pomiarów

W związku z tym, że żadna z wartości zmierzonych, udokumentowanych w tabelach w pkt. 9, uzyskanych w skutek zastosowania pomiaru szerokopasmowego, powiększonego o rozszerzoną niepewność pomiaru U dla współczynnika rozszerzenia $k = 2$ nie przekroczyła 70% najniższej dopuszczalnej wartości składowej elektrycznej lub magnetycznej pola dla objętych pomiarami zakresów częstotliwości, nie uwzględnia się poprawek pomiarowych.

W wyniku zastosowania sposobu sprawdzenia dotrzymania dopuszczalnych poziomów pól elektromagnetycznych w środowisku, zgodnie pkt 25 ppkt 1 Rozporządzenia Ministra Klimatu z dnia 17 lutego 2020 r. (Dz. U. 2022, poz. 2630), w związku z tym, że żadna z wartości wskaźnikowych, udokumentowanych w tabelach w pkt. 9 nie przekracza wartości 1, stwierdza się, że w miejscach, w których wykonano pomiary w otoczeniu instalacji radiokomunikacyjnej 28606 (91043N!) WSK_SKIERNIEW_ZWIERZYNIECK2, dopuszczalne poziomy pól elektromagnetycznych w środowisku należy uznać za dotrzymane.

11. Podstawa prawna

- 1) Ustawa z dnia 27 kwietnia 2001 r. Prawo ochrony środowiska (Dz.U. 2022 poz. 2556)
- 2) Rozporządzenie Ministra Zdrowia z dnia 17 grudnia 2019 r. w sprawie dopuszczalnych poziomów pól elektromagnetycznych w środowisku (Dz. U. 2019, poz. 2448)
- 3) Rozporządzenie Ministra Klimatu z dnia 17 lutego 2020 r. w sprawie sposobów sprawdzania dotrzymania dopuszczalnych poziomów pól elektromagnetycznych w środowisku (Dz. U. 2022, poz. 2630),
- 4) Akredytacja nr AB 419 wydana przez Polskie Centrum Akredytacji (wydanie 21, z dnia 11 kwietnia 2023 r.)

12. Spis załączników

Załącznik 1. Lokalizacja obiektu badań

Załącznik 2. Usytuowanie pionów (punktów) pomiarowych

Załącznik 3. Dokumentacja fotograficzna obiektu badań

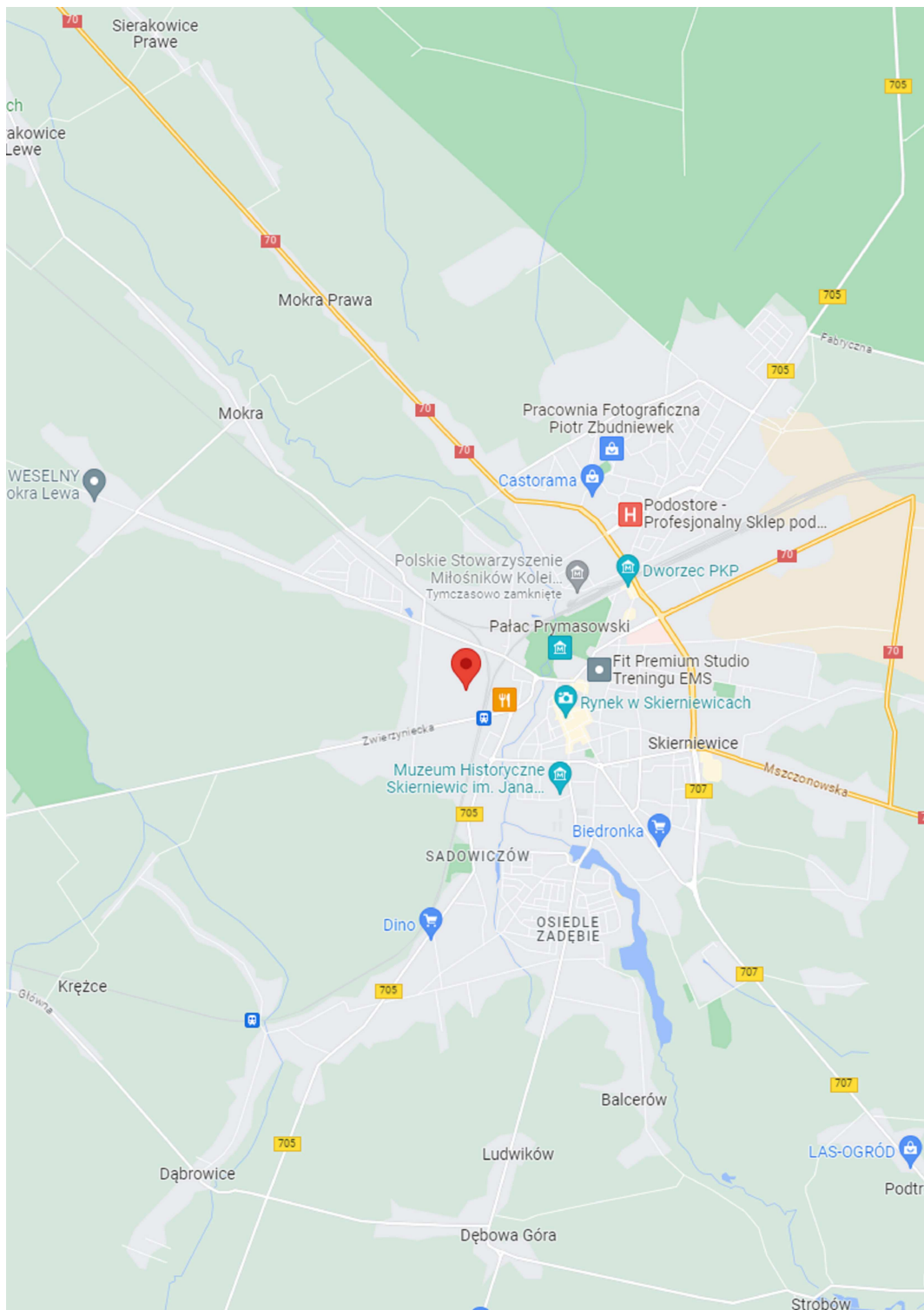
13. Data wydania i autoryzowania sprawozdania

Obliczenia i sprawozdanie wykonał :

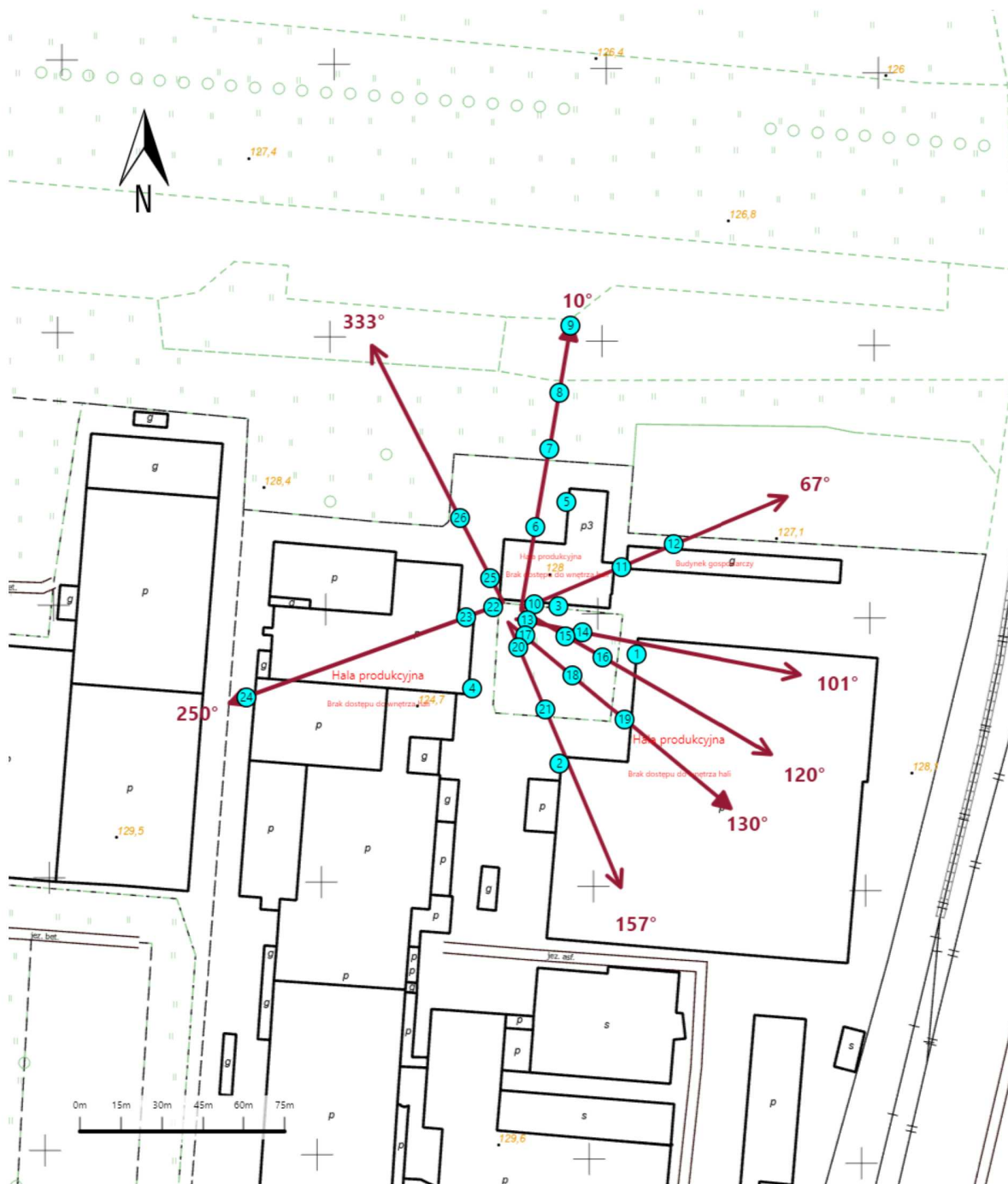
Sprawozdanie autoryzował:




Koniec sprawozdania

Sprawozdanie z badań bez pisemnej zgody laboratorium nie może być powielane inaczej niż w całości.
Wynik przedstawione w niniejszym sprawozdaniu odnoszą się wyłącznie do badanego obiektu i do warunków i konfiguracji urządzeń w dniu wykonywania pomiarów.



Załącznik nr 1	Instalacja radiokomunikacyjna T-Mobile 28606 (91043N!) WSK_SKIERNIEW_ZWIRZYNECK2 Lokalizacja stacji
----------------	--



<p>Załącznik nr 2</p>	<p style="text-align: center;">Instalacja radiokomunikacyjna T-Mobile Polska S.A. WSK_SKIERNIEW_ZWIERZYNECK2 (91043N!) Usytuowanie pionów pomiarowych w otoczeniu instalacji radiokomunikacyjnej</p>
	<p>Legenda:</p> <div style="display: flex; justify-content: space-around; align-items: center;"> <div style="text-align: center;">  <p>Pion pomiarowy</p> </div> <div style="text-align: center;">  <p>Kierunek oddziaływania anten sektorowych</p> </div> <div style="text-align: center;">  <p>Kierunek oddziaływania anten radioliniowych</p> </div> </div>



Załącznik nr 3

Instalacja radiokomunikacyjna T-Mobile 28606 (91043N!) WSK_SKIERNIEW_ZWIERZYNECK2

Dokumentacja fotograficzna